

## УСТАНОВКА ДЛЯ ГРАДУИРОВАНИЯ ТЕРМОПАРЫ РЕЗЕЦ — ИЗДЕЛИЕ МЕТОДОМ ЭЛЕКТРОКОНТАКТНОГО НАГРЕВА

В. А. НАУМОВ

(Представлена кафедрой станков и резания металлов)

### Назначение и технические данные установки

Общепризнанным методом измерения температур в зоне резания металлов в настоящее время стал метод естественной термопары резец—изделие, наиболее полно описанный [1]. Однако для успешного его применения необходима тщательная тарировка исследуемой пары обрабатываемый металл — твердый сплав. Наиболее распространенный из существующих методов тарирования заключается в следующем (рис. 1). В ванну с расплавленным теплоносителем (свинцом, сурьмой и др.) 3 помещается стержень из обрабатываемого материала и другой стержень из твердого сплава, холодные концы которых подключаются к гальванометру (милливольтметру) 2. Между ними помещается спай контрольной термопары, включенной в пирометрический милливольтметр 1.

Нагрев осуществляется различными методами, в частности, с помощью нагревательной спирали 4. В процессе нагрева и охлаждения одновременно фиксируются показания милливольтметров 1, 2 и по полученным данным строятся тарировочные графики.

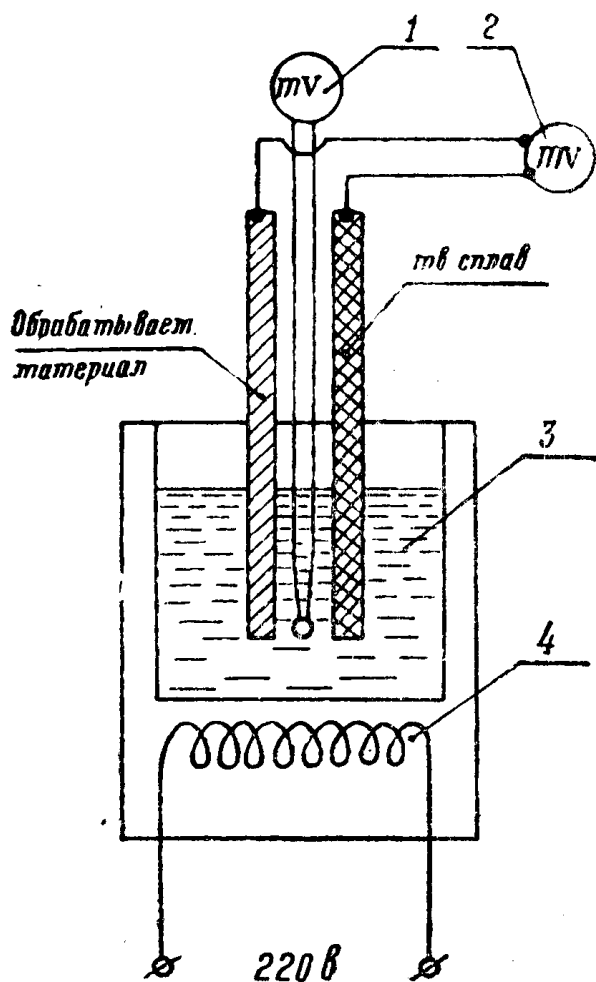


Рис. 1.

лученным данным строятся тарировочные графики.

П. И. Бобриком [2] предложено тарировочное устройство, схематично изображенное на рис. 2. Два образца: один из обрабатываемого материала, другой из твердого сплава (материал резца) соединяются в стык в специальном приспособлении и нагреваются электронагревательной спиралью. Показания милливольтметров рабочей и контрольной термопар фиксируются таким же образом, как и в предыдущем

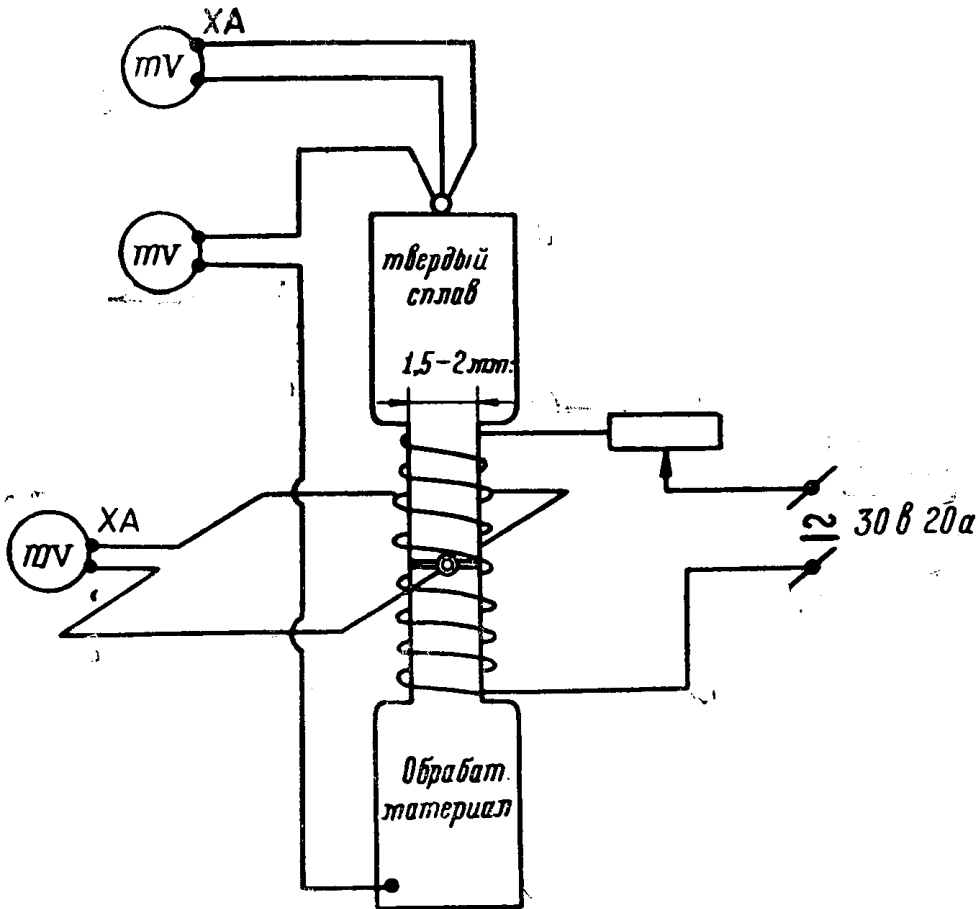


Рис. 2

способе. Спай контрольной термопары помещен в канавке между торцами исследуемых образцов.

Недостатки этих методов:

1. Оба процесса не являются хорошими моделями процесса резания, так как при тарировании нагреву подвергаются значительные участки исследуемых образцов, а при резании источником теплообразования является очень незначительная зона деформаций и трения.

2. Процессы тарирования очень длительны (особенно первый) и трудоемки (изготовление специальных образцов стержней из твердого сплава и т. д.).

3. Трудно проконтролировать и учесть влияние паразитных ТЭДС.

В лаборатории резания металлов ТПИ разработана конструкция установки, позволяющей очень быстро и весьма качественно произвести тарирование естественной термопары резец — изделие, причем тарирование возможно осуществлять на обычных пластинках твердого сплава с максимальным приближением к условиям, имеющим место при резании.

Установка работает по принципу нагрева стыка двух разнородных металлов при пропускании через них тока большой мощности.

### Технические данные установки

1. Потребляемая мощность	15 квт
2. Максимальный ток на тарируемом спае (стыке)	350—500 а
3. Время тарирования	5—10 мин
4. Интервал температур, до которых возможно производить тарирование	1200 $\div$ 1500°C
	Возможен и значительно больший нагрев

### Устройство и принцип действия установки

Принципиальная схема установки приведена на рис. 3. Установка состоит из трехфазного регулировочного трансформатора типа РНТ 220--12 с пределами регулирования напряжения 0—220 в, сварочного трансформатора 4 с выходной мощностью 300—500 а, системы, имитирующей контакт резца с обрабатываемой деталью и системы фиксирования электрических сигналов. Из обрабатываемого материала изготав-

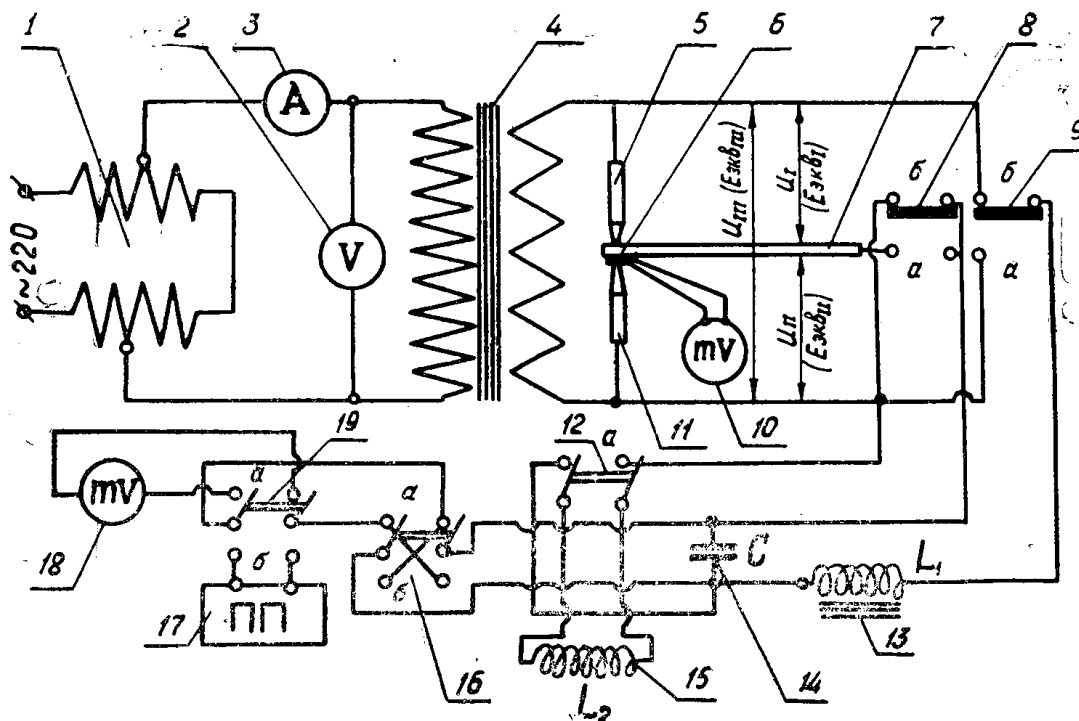


Рис. 3

ливается два стержня с коническими концами (на рис. 3 стержни 5 и 11). Коническими концами эти стержни-электроды прижимаются к стержню из твердого сплава 7. Вместо электрода 7 можно ставить обычную резцовую державку, которой производится процесс резания. К электродам 5 и 11 подключаются концы силовой обмотки сварочного трансформатора. Между одним из электродов и твердосплавным стержнем устанавливается термоприемник 6 платино-платинородиевой термопары 10.

Система фиксирования электрических сигналов состоит из переключателей 8, 9, 12, 16, 19; запирающего фильтра из индуктивностей  $L_1$  — 13 и  $L_2$  — 15, емкости  $C$  — 14 и регистрирующих милливольтметра и компенсационного потенциометра ПП. Расходуемая мощность на процесс регистрируется амперметром 3 и вольтметром 2.

Работает установка следующим образом. Трансформатором 1 плавно повышается напряжение до необходимого предела. Ток большой силы, проходя через контакты, разогревает их. Через 2—3 секунды тепловой процесс на площадках контакта стабилизируется, что видно по милливольтметрам 10 и 18 (стрелки устойчиво стоят). В этом стабильном положении производятся измерения, условно обозначенные следующими индексами:

- Разность потенциалов  $U_I$  и эквивалентная э.д.с.  $E_{\text{экв}I}$ . Это измерение осуществляется поочередным включением в цепь сначала милливольтметра, а затем компенсационного потенциометра.
- Разность потенциалов  $U_{II}$  и компенсирующая э.д.с.  $E_{\text{экв}II}$ .
- Разность потенциалов  $U_{III}$  и соответствующая ей э.д.с.  $E_{\text{экв}III}$ .
- Суммарная разность потенциалов  $U_{II}$  при запараллеленных токоотводах от образцов 5 и 11 и соответствующая ей э.д.с.  $E_{\text{экв}II}$ . Эти измерения осуществляются при положениях переключателей, приведенных в табл. 1.

Таблица 1 (к рис. 3)

Измеряемая величина \ Индекс тумблера на схеме рис. 3	$U_I$	$E_{\text{экв}I}$	$U_{II}$	$E_{\text{экв}II}$	$E_{\text{экв}III}$	$U_{III}$	$U_{II}$	$E_{\text{экв}II}$
8	а	а	а	а	а	а	а	а
9	б	б	а	а	б	б	б	б
12	—	—	—	—	—	—	а	а
19	а	б	а	б	б	а	а	б

Буквами обозначены положения переключателей при том или ином измерении. Тумблер 16, не включенный в табл. 1, служит для измерения полярности прибора при изменении направления тока в цепи.

В измерительную цепь вместе с ТЭДС поступает и переменный ток, нагревающий контактные площадки. Для его запирания применен фильтр, состоящий из батареи конденсаторов С-5000 мкФ (на рис. 3—14) и дросселей  $L_1$  и  $L_2$  13, 15, имеющих следующие данные: число витков  $W = 300$ , активное сопротивление  $R = 6,0$ , диаметр намоточного провода 1,2 мм. Проверка на электронно-лучевом осциллографе показала, что фильтр с вышеперечисленными характеристиками пропускает переменную составляющую величиной менее 0,01 мкА по току и 0,1 мВ по напряжению, что является весьма несущественным.

После окончания измерений на данном температурном режиме вновь повышается напряжение до следующего температурного уровня и комплекс измерений повторяется. Таким образом получаются данные для всего интересующего нас интервала температур.

### Обработка полученных результатов

Результаты, полученные при градуировании, должны быть соответствующим образом обработаны, потому что электрические цепи при

резании и при градуировании различаются между собой. На рис. 4 приведены расчетные схемы для определения электродвижущих сил. Расчет осуществляется с использованием метода суперпозиции и законов Кирхгофа [3]. Рис. 4 а представляет общую схему цепи (измерение  $U_{\text{п}}; E_{\text{экв}}$ ). Рис. 4 б представляет схему измерения  $U_1; E_{\text{экв}}$ .

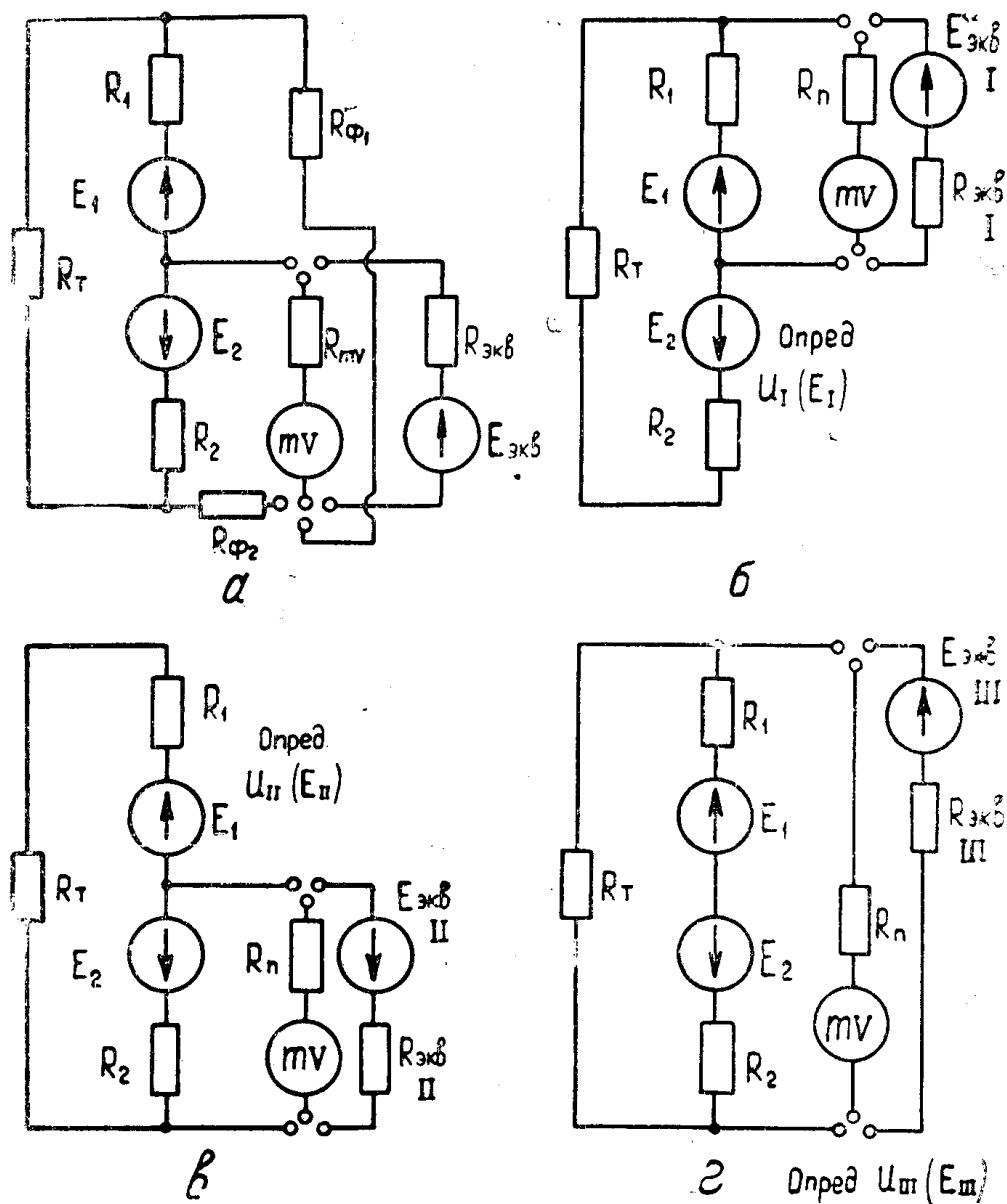


Рис. 4.

Рис. 4 $\beta$  и 4 $\gamma$  представляют соответственно схему измерения  $U_{\text{п}}; E_{\text{экв}}$  и  $U_{\text{п}}; E_{\text{экв}}$ .

На этих схемах

$R_T$  — сопротивление обмотки трансформатора;

$E_1, R_1$  — первая искомая э.д.с. и соответствующее ей контактное сопротивление, являющееся как бы ее внутренним сопротивлением;

$E_2$  и  $R_2$  — вторая искомая э.д.с. и ее сопротивление;

$R_{\Phi_1}$  и  $R_{\Phi_2}$  — омические сопротивления фильтров;

$R_{mv}$  — внутреннее сопротивление милливольтметра;  
 $E_{\text{экв}}, R_{\text{экв}}$  — э.д.с. компенсации и сопротивление компенсирующего устройства.

При всех измерениях потенциометр и милливольтметр включаются в цепь поочередно, поэтому схемы 4a, б, в, г нужно рассматривать в такой же последовательности: сначала с милливольтметром, а потом с потенциометром или наоборот.

Из схемы 4б получим (для милливольтметра)

$$U_I = \frac{E_1(R_t + R_2)R_n + E_2R_1R_n}{R_2R_t + R_1R_2 + R_nR_t + R_nR_1 + R_nR_2}, \quad (1)$$

где:  $R_n = R_{mv} + R_\phi + R_y$ ,

$R_y$  — сопротивление проводников цепи.

При измерении потенциометрическим методом в момент измерения ток измерительной цепи равен нулю и для схемы 4б

$$E_{\text{эквI}}(R_2 + R_1 + R_t) = E_2R_1 + E_1(R_2 + R_t). \quad (2)$$

Для схемы 4в

$$U_{II} = \frac{E_2(R_t + R_1)R_n + E_1R_2R_n}{R_1R_2 + R_2R_t + R_nR_t + R_nR_1 + R_nR_2}, \quad (3)$$

$$E_{\text{эквII}}(R_1 + R_2 + R_t) = E_1R_2 + E_2(R_1 + R_t). \quad (4)$$

Для схемы 4г

$$U_{III} = \frac{(E_1 - E_2)R_tR_n}{R_1R_2 + R_2R_t + R_nR_t + R_nR_1 + R_nR_2}, \quad (5)$$

$$E_{\text{эквIII}}(R_1 + R_2 + R_t) = (E_1 - E_2)R_t. \quad (6)$$

В формулах (1, 3, 5) равны знаменатели, поэтому можно получить следующую пропорцию:

$$\frac{E_1(R_t + R_2) + E_2R_1}{U_I} = \frac{E_2(R_t + R_1) + E_1R_2}{U_{II}} = \frac{(E_1 - E_2)R_t}{U_{III}}. \quad (7)$$

Из пропорции (7) можно составить 3 уравнения, однако в ней 4 неизвестных  $E_1$ ;  $E_2$ ;  $R_1$ ;  $R_2$ . Приняв  $R_1 = R_2$ , чего можно достигнуть, сделав концы электродов одинакового диаметра, получим

$$E_1 = U_I \left( 1 + \frac{R_tR_1 + R_1^2}{2R_1R_{mv} + R_tR_n} \right), \quad (8)$$

$$E_2 = U_{II} \left( 1 + \frac{R_tR_2 + R_2^2}{2R_2R_n + R_tR_n} \right). \quad (9)$$

Проще пользоваться потенциометрическим методом. Из уравнений (2, 4, 6)

$$E_1 = E_{\text{эквI}} + E_{\text{экв}} \frac{R_1}{R_t}, \quad (10)$$

$$E_2 = E_{\text{эквII}} - E_{\text{эквIII}} \frac{R_2}{R_t}. \quad (11)$$

Практически все получается значительно проще. Изготовив электроды с одинаковыми диаметрами конических концов, практически получим, что при измерениях  $E_{\text{эквI}} = E_{\text{эквII}}$  и  $U_I = U_{II}$ , а  $U_{III} = E_{\text{эквIII}} = 0$ .

Поэтому

$$E = E_{\text{эквI}} = E_{\text{эквII}}, \quad (12)$$

$$E = U_I \kappa = U_{II} \kappa, \quad (13)$$

$\kappa$  — поправка, которую нужно ввести на наличие в цепи фильтров  $R_{\Phi_1}$  и  $R_{\Phi_2}$ .

По полученным результатам строится градуировочная кривая.

В заключение статьи подчеркнем необходимость именно трех, как минимум, измерений на каждой ступени температур.

1.  $U_I; E_{\text{ЭКВ}_I}$  — дают истинное значение ТЭДС. 2.  $U_{II}; E_{\text{ЭКВ}_{II}}$  — дают значение ТЭДС, контролируемое показанием термопары платина — платинородий. 3.  $U_{III} = E_{\text{ЭКВ}_{III}} = 0$  показывает, что температура в точках нагрева является одинаковой.

Если температура между спаем 2 и спаем 1 будет отличаться, то  $U_{III} \neq 0$  и  $E_{\text{ЭКВ}_{III}} \neq 0$ . Такой двойной контроль позволяет получить весьма надежные данные. Весь процесс градуирования занимает 5—10 минут. Рекомендуется повторить градуирование 2—3 раза, чтобы убедиться в хорошей повторяемости и совпадении.

Достоинствами описанного метода градуирования являются:

1. Быстрота градуирования.
2. Отсутствие паразитных э.д.с., которое связано с тем, что разогревается небольшой участок контактирующих тел.
3. Возможность провести градуирование на инструменте, реально применяемом в процессе резания, пластинке твердого сплава, сверле, развертке и т. д.

#### ЛИТЕРАТУРА

1. М. И. Даниелян. Износ инструмента и тепловые явления при резании металлов. Машгиз. 1954.
  2. П. И. Бобрик. Качество поверхностного слоя, температурные и силовые зависимости при резании некоторых марок жаропрочных сплавов. Сб. Обрабатываемость жаропрочных и титановых сплавов. Куйбышев. 1962.
  3. Л. А. Бессонов. Теоретические основы электротехники. Госиздат. Высшая школа. 1942.
-